

## **СТРУКТУРА ПОТОКА ШАХТНОЙ ВОДЫ ПРИ КАВИТАЦИИ НА ВХОДЕ В РАБОЧЕЕ КОЛЕСО НАСОСА ВОДООТЛИВА**

Малеев В.Б., докт. тех. наук., проф., Прищенко В.А., аспирант

Донецкий национальный технический университет

*В работе исследована кинематика движения потока шахтной воды во входной втулке рабочего колеса центробежного насоса. При этом изучены эффекты вращательного движения и расслоения фаз гидросмеси.*

*It is investigate the kinematics mine water stream motion in the centrifugal pump impeller entrance hub. The effects of rotatory motion and stratification gydromixture phases are studied*

**Проблема и ее связь с научными или практическими задачами.** Особенностью работы шахтных центробежных насосов является перекачивание гидросмесей с содержанием твердых частиц угля и породы. Работа насоса на гидросмеси отличается от работы на чистой жидкости, т.к. изменяются его напорная, энергетическая характеристики и допустимая высота всасывания.

**Анализ исследований и публикаций.** Силовое взаимодействие между непрерывным потоком жидкости и дискретным потоком твёрдых частиц в реально существующих неоднородных потоках гидросмеси изучено в [1, 2].

Вопросы перекачивания двухфазных потоков шахтными центробежными насосами рассматривались Зарей А.Н. [3,4], Малеевым В.Б. [5]

Однако эти работы не рассматривали кинематику трехфазного потока на входе в рабочее колесо (РК), состоящего из пузырьков насыщенного пара, воды и частиц твердого.

**Постановка задачи.** Целью данной статьи является изучение кинематики многофазного потока на входе в РК шахтных центробежных насосов и ее влияние на работу последних.

**Изложение материала и результаты.** Основной особенностью проточной части центробежного насоса является наличие неинерциальной механической системы для потока в рабочем колесе. В этой системе на компоненты потока шахтной воды кроме обычных сил действуют также переносная и кориолисова силы инерции. По этой

причине на пузырьки пара, твёрдые частицы и равные им объёмы жидкости при неравенстве их плотностей будут действовать разные силы, что приведёт к соответствующей разнице между их кинематическими параметрами (сепарации гидросмеси). Твёрдые частицы, обладающие меньшей упругостью, чем жидкость, имеют значительно меньшую потенциальную энергию и, соответственно будут двигаться быстрее жидкой и газовой фаз. Таким образом, особенность гидродинамики многофазной смеси в проточной части насоса связана с различными физическими свойствами движущихся компонентов.

Поэтому движение трехфазного потока (пузырьки пара – жидкость – частицы твердого) на участке от начала входной втулки РК до кромок его лопаток (рис.1) будем рассматривать подобным движению смеси в коленах изгибающихся трубопроводов [6]. Тогда распределение давления на начальном участке входной втулки РК ( $\Theta < 30^\circ$ ) очень близко к распределению давления, соответствующему свободному вихрю в однородном потоке:

$$\frac{dp}{dr} = \rho_{cm} \frac{C_0^2 R_c^2}{(r + R_c)^3}, \quad (1)$$

где  $R_c$  - радиус средней линии межлопаточного канала РК,

$r$  – фактический радиус окружности, вписанной в межлопаточный канал,

$\rho_{cm}$  – плотность перекачиваемой смеси.

При возникновении кавитации в движущемся потоке появляется газовая составляющая, в результате чего плотность смеси изменяется. Принимаем:

$$\rho_{cm} = \frac{\rho_{cm0}}{1 - \gamma_{gas} + \gamma_{gas} \frac{p_0}{p}},$$

где  $\gamma_{gas}$  – объемное газосодержание,  $\rho_{cm0}$  – плотность смеси на входе в РК,  $p_0$  – давление на входе в РК.

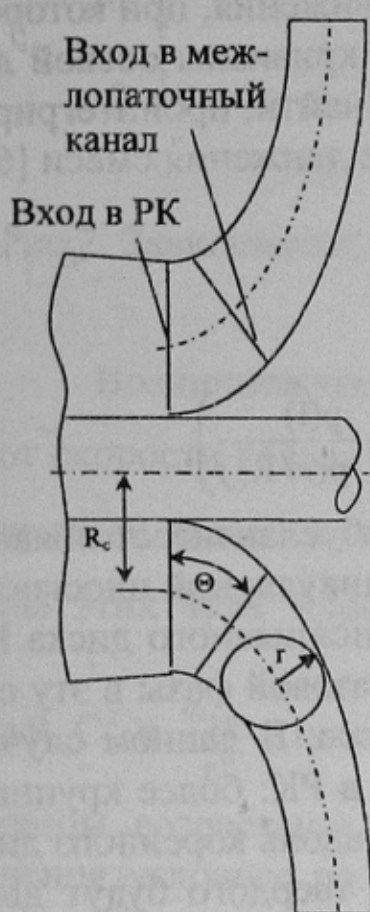


Рис.1 Схема РК центробежного насоса

После интегрирования выражения (1) в кавитационном режиме работы насоса получаем распределение давления для свободного вихря:

$$A_B \left( \frac{R_c^2}{r^2} - 1 \right) = (1 - \gamma_{\text{газ}}) \left( \frac{p(1)}{p_0} - \frac{p(r/R_c)}{p_0} \right) + \gamma_{\text{газ}} \ln \left( \frac{p(1)}{p_0 \cdot p(r/R_c)} \right),$$

где  $A_B = \rho_{\text{см0}} C_0^2 / 2p_0$ ,

На следующем участке входной втулки ( $30^\circ < \Theta < 60^\circ$ ) форма распределения давления изменяется и становится ближе к распределению давления для вынужденного вихревого движения, при котором жидкость вращается относительно оси радиуса кривизны осевой линии колеса. Это распределение давления можно найти, проинтегрировав в плоскости симметрии РК (рис.1) уравнение движения смеси [6]:

$$\frac{dp}{dr} = \rho_{\text{см}} \left( \frac{U_0}{R_c} \right)^2 (r + R_c)$$

Данное распределение имеет вид:

$$A_B \left( 1 - \frac{r^2}{R_c^2} \right) = (1 - \gamma_{\text{газ}}) \left( \frac{p(1)}{p_0} - \frac{p(r/R_c)}{p_0} \right) + \gamma_{\text{газ}} \ln \left( \frac{p(1)}{p_0 \cdot p(r/R_c)} \right)$$

Такое изменение распределения давления обуславливает появление вращения потока относительно оси, перпендикулярной плоскости симметрии колеса. Кроме того, течение вблизи покрывного диска РК еще более усложняется в результате отделения газовой фазы в эту область при кавитационных режимах работы насоса. В данном случае имеет место следующее движение фаз на входе в РК: более крупные частицы будут перемещаться в потоке жидкости вдоль коренного диска, пузырьки пара и наиболее мелкие частицы твердого будут двигаться вдоль покрывного диска РК. При этом воздух, находящийся в порах твердых частиц будет расширяться в области вакуумметрического давления, способствуя тем самым развитию кавитации вдоль покрывного диска РК.

Полученная в работе [ 6 ] зависимость углового расстояния  $\Theta_{\text{вр}}$ , при котором начинает развиваться вращение потока  $\omega_{\text{вих}}$  от его осевой скорости (рис.2) показывает, что при наименьшей средней скорости потока вращательное движение начинается на большем угловом расстоянии от входа в колесо.

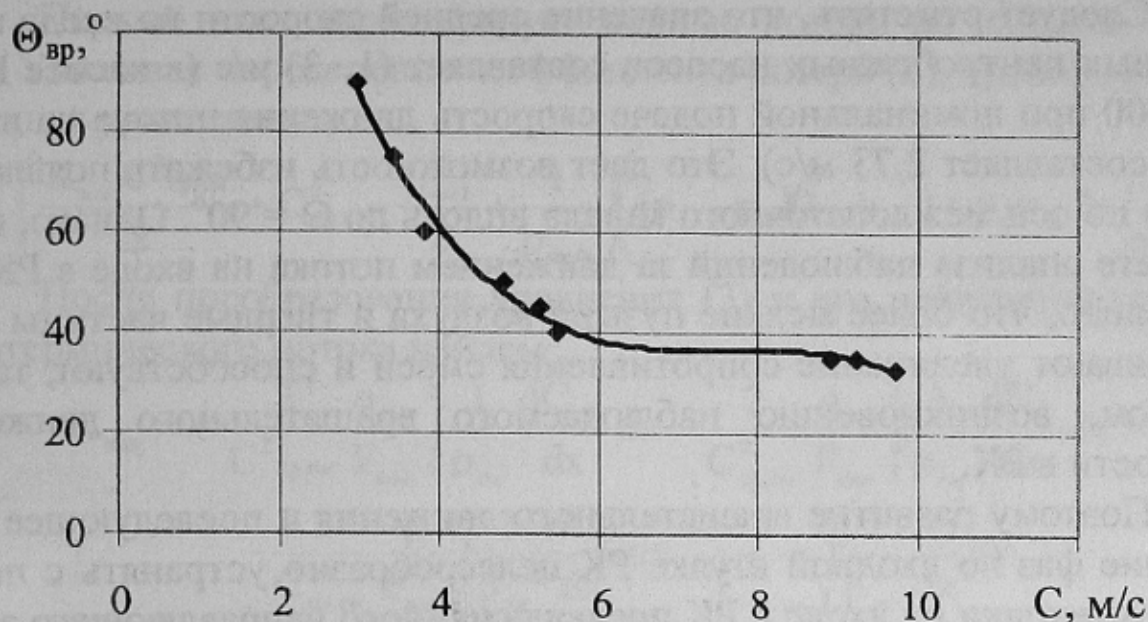


Рис.2. Зависимость углового расстояния от входа в РК  $\Theta_{\text{вр}}$  от скорости потока шахтной воды

Возникновение завихренности в турбулентном потоке зависит от скорости возрастания завихренности  $\frac{d\omega_{\text{вих}}}{dt}$  и произведения турбулентной вязкости на вторую производную от завихренности. Величины этих трех членов соответственно пропорциональны:  $\frac{C_0}{R_c} \frac{d\omega_{\text{вих}}}{d\Theta}$ ,  $\rho R_c C_0^2$  и  $\frac{\omega_{\text{вих}}}{r_0^2}$ , поэтому можно принять, что  $\frac{d\omega_{\text{вих}}}{d\Theta} \approx \left(\frac{R_c}{r_0}\right)^2$ . Таким образом, возрастание вращательного движения в потоке по мере увеличения углового расстояния от входа во входную втулку РК должно происходить при больших отношениях  $R_c/r_0$ . Уменьшение угловой координаты  $\Theta_{\text{вр}}$  при больших скоростях потока свидетельствует об образовании структуры течения с мелкими пузырьками при этих скоростях, которая способствует увеличению турбулентного напряжения трения и более быстрому развитию вращательного движения в потоке по мере его прохождения через входную втулку РК. Таким образом, появление вращательного движения в результате действия сил инерции во входной втулке РК способствует разделению жидкой и твердой фаз и появлению газовой составляющей, а появление последней, в свою очередь, способствует еще большему развитию вращательного движения в результате увеличения скольжения между фазами.

Следует отметить, что значение средней скорости на входе в РК шахтных центробежных насосов составляет (1...3) м/с (в насосе ЦНС 300-600 при номинальной подаче скорость движения потока на входе в РК составляет 2,73 м/с). Это дает возможность избежать появления вихря по оси межлопаточного канала вплоть до  $\Theta = 90^\circ$ . Однако, в результате анализа наблюдений за движением потока на входе в РК установлено, что более мелкие пузыри воздуха и твердые частицы обуславливают увеличение сопротивления смеси и способствуют, таким образом, возникновению наблюдавшегося вращательного движения жидкости в РК.

Поэтому развитие вращательного движения и последующее разделение фаз во входной втулке РК целесообразно устранять с помощью установки на входе в РК предвключенного направляющего аппарата, устраняющей вихревые движения и уменьшающей гидравлические потери в РК. При этом на участке движения потока, соответствующему  $\Theta > (30...60)^\circ$  давление возле покрывного диска РК сохраняется практически постоянным, хоть и значительно меньше давления возле коренного диска. Таким образом, разделение фаз в сочетании с радиальным изменением давления играют важную роль в формировании полных гидравлических потерь давления на рассматриваемом участке. Коэффициент потерь давления во входной втулке РК можно определить:

$$K_{\text{кол}} = \frac{2 \cdot \Delta E_{\text{кол}}}{\rho_{\text{см}} C_{\text{ср.см}}^2} \quad (2)$$

где  $\Delta E_{\text{кол}}$  – уменьшение энергии во входной втулке РК,

$C_{\text{ср.см}}$  – средняя скорость смеси в промежуточной точке колеса, определяемая исходя из полного объемного расхода в заданном сечении и площади этого сечения.

Уравнение количества движения для течения смеси без существенного влияния трения имеет вид

$$C_{\text{ср.см}} \frac{dC_{\text{ср.см}}}{dx} + \frac{1}{\rho_{\text{ср.см}}} \frac{dp}{dx} = 0 \quad (3)$$

После интегрирования между двумя сечениями (с индексами 1 и 2) получим

$$\frac{\Delta E}{\rho_{\text{ср.см}}} + \left( C_{\text{ср.см}2}^2 - \frac{C_{\text{ср.см}1}^2}{2} \right) + \left( \frac{1}{\rho_{\text{ср.см}0}} \left[ (p_2 - p_1)(1 - \gamma_{\text{газ}}) + p_0 \gamma_{\text{газ}} \ln \frac{p_2}{p_1} \right] \right)$$

Первый член характеризует полные потери во входной втулке РК. Учитывая определение коэффициента потерь (2), преобразуем последнее уравнение

$$\left( \frac{K_{\text{кол}} C_{\text{ср.см}}^2}{2} + C_{\text{см2}}^2 - \frac{C_{\text{см1}}^2}{2} + \frac{1}{\rho_{\text{см0}}} \right) \left( (p_2 - p_1)(1 - \gamma_{\text{газ}}) + p_0 \gamma_{\text{газ}} \ln \frac{p_2}{p_1} \right)$$

После преобразования уравнения (3) и его интегрирования для изотермического потока найдем

$$K_{\text{кол}} = - \frac{2}{C_{\text{ср.см}}^2 F_{\text{кол}}} \int \frac{1}{\rho_{\text{см}}} \frac{dC_{\text{раа}}}{dx} dx - \frac{2}{C_{\text{ср.см}}^2 F_{\text{кол}}} \int \frac{1}{\rho_{\text{см}}} \frac{dC_{\text{ж}}}{dx} dx - \\ - \frac{2}{C_{\text{ср.см}}^2 F_{\text{кол}}} \int \frac{1}{\rho_{\text{см}}} \frac{dC_{\text{т}}}{dx} dx - \frac{2}{C_{\text{ср.см}}^2 F_{\text{кол}}} \int \frac{1}{\rho_{\text{см}}} \frac{dp}{dx} dx,$$

где  $q_{\text{газ}} = \gamma_{\text{газ}} \rho_{\text{газ}} C_{\text{газ}} F_{\text{кол}}$ ,  $q_{\text{ж}} = \gamma_{\text{ж}} \rho_{\text{ж}} C_{\text{ж}} F_{\text{кол}}$  и  $q_{\text{т}} = \gamma_{\text{т}} \rho_{\text{т}} C_{\text{т}} F_{\text{кол}}$  - соответственно массовые расходы газа, жидкости и твердого.

Пренебрегая скольжением в потоке, можно записать последнее уравнение в виде

$$K_{\text{кол}} = - \left( \frac{C_{\text{см2}}^2 - C_{\text{см1}}^2}{C_{\text{ср.см}}^2} \right) - \left( \frac{2}{\rho_{\text{см0}} C_{\text{ср.см}}^2} \right) \left( (p_2 - p_1)(1 - \gamma_{\text{газ}}) + p_0 \gamma_{\text{газ}} \ln \frac{p_2}{p_1} \right)$$

В случае существования на входе в межлопаточные каналы РК большого скольжения между движущимися фазами потока расчетные значения коэффициента потерь возрастают. Это объясняется завышением кинетической энергии потока при определении скорости потока по его полному объемному расходу, а также значительной диссипацией энергии вследствие большого профильного сопротивления частиц.

При большом относительном скольжении жидкая фаза, которая переносит большую часть кинетической энергии, перемещается с более высокой скоростью по сравнению со средней скоростью потока. В свою очередь, твердые частицы, обладающие еще большей кинетической энергией, движутся с наибольшей для трех фаз скоростью. Таким образом, наибольшее увеличение расчетного коэффициента потерь наблюдается в случае максимального скольжения на входе в межлопаточные каналы РК, что является причиной уменьшения КПД насоса при работе на гидросмеси.

### *Выводы и направления дальнейших исследований.*

- исследования структуры потока, движущегося в проточной части РК шахтных центробежных насосов показало, что вращательное движение и расслоение фаз твердого, жидкости и газа возникают

в начальной области входа в первое РК центробежного насоса и сохраняются на входе в его межлопаточные каналы;

- относительное скольжение между фазами значительно возрастает на входе в межлопаточные каналы РК при малой скорости потока. Твердые частицы за счет большей относительной скорости, чем у жидкости, активно действуют на жидкость и создают в ней приращение напора. Однако, вследствие большого профильного сопротивления между твердыми частицами, жидкостью и пузырьками газа передача энергии сопровождается значительной диссиpацией, что является причиной уменьшения КПД насоса при работе на гидросмеси. Влияние скольжения приводит к увеличению расчетной величины полного коэффициента потерь на обмен энергии между тремя фазами во входной втулке РК в среднем на 10%;

- для уменьшения этих потерь необходима установка во входной втулке РК предвключенного направляющего аппарата.

В дальнейших исследованиях необходимо установить влияние разделения фаз гидросмеси в РК на его всасывающую способность.

#### Список источников

1. Лойцянский Л. Г. Механика жидкости и газа. -М.: Гостехиздат, 1973. - 848с.
2. Дементьев М. А. Общие уравнения и динамическое подобие взвесенесущих потоков. Изв. ВНИИГ им. Б. Е. Веденеева, Т. 73, 1963.
3. Заря А. Н. О кинематике частиц полифазной смеси в рабочем колесе центробежного насоса. // Горная электромеханика и автоматика .- 1973.- Вып.23. С.12-18.
4. Заря А. Н. Всасывающая способность центробежного насоса при работе на гидросмеси. // Разработка месторождений полезных ископаемых. К.: Техніка.- 1974.- Вып. 37 - С. 35 – 41.
5. Малеев В.Б. Развитие научных основ системы шахтного водоотлива: Дис...докт. техн. наук: 05.05.06. – Д., 2003. – 317с.
6. Хоан, Дэвис Структура течения и потери давления в двухфазном потоке в обратных коленях // Trans ASME. – 1984. -T106. - №1. – С.123-131